

Необходимость создания цифрового измерительного прибора эфирной среды

1. Новые подходы к познанию “Эфиродинамики” – “Градиентная Эфиродинамика”
2. Современное состояние измерений в физике и отсутствие измерительных приборов для метрологии параметров эфира.
3. **Эфиродинамические электронные компоненты**, положенные в основу создания измерительной системы самого главного параметра эфира – изменения давления эфирной среды.
4. **Измерители Градиентов переменного Эфирного Давления** серий **ИГЭД-1 (MGEP-1)** и **ИГЭД-2(гр) (MGEP-2gi)** - с развязкой гальванической измерительного и индикаторного модулей.
5. Описание измерителей серии **ИГЭД (MGEP)** и фильм семинара - http://www.course-as.ru/AEM_GE/AEM_MGEP-RT.pdf

(Российский междисциплинарный семинар № 772 по темпорологии имени А.П. Левича
Доклад 27.09.2022г. - http://www.course-as.ru/AEM_GE/AEM_MGEP-series.mp4)

единственная непротиворечивая теория эфира!

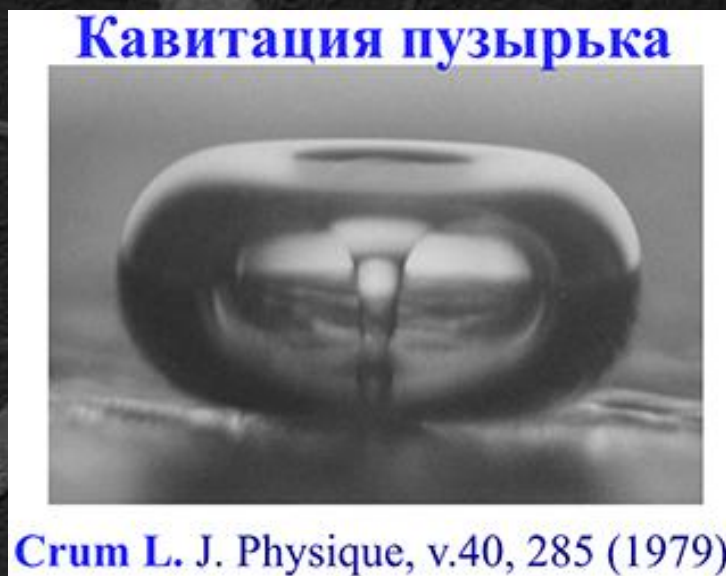
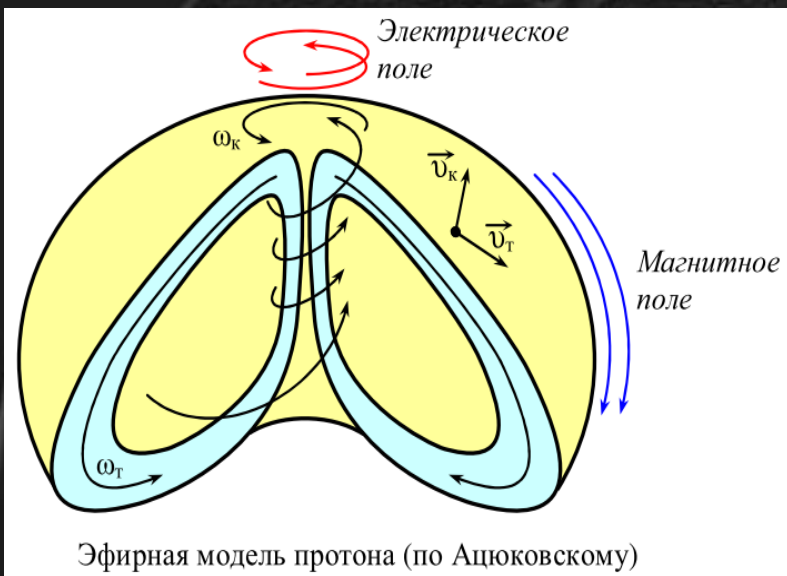
Основные базовые положения Эфиродинамики :

- 1. Исправлена ошибка предшественников о неподвижном стационарном эфире как мировой среде обитания – эфир находится непрерывном движении в микромире, макромире и на астрономических масштабах.**
- 2. Определены пределы основных параметров эфира, один из которых – давление эфира $P_e > 1.3 * 10^{35} \text{ kg/m}^2$ подтверждено по рассеянию электронов на протонах на Стэнфордском ускорителе (SLAC) - давление внутри протона $P_p \approx 10^{34} \text{ kg/m}^2$ - полная корреляция с предсказанным.**
- 3. Определен один из основных параметров эфира – плотность эфира, определенная из измерений процесса расширения Земли за счет центростремительного потока эфира (причины “гравитации”), составляющую величину $\approx 7.0 * 10^{(-11)} \text{ kg/m}^3$ (по Ацюковскому В.А. $\approx 8.85 * 10^{(-12)} \text{ kg/m}^3$).**

По заветам Ацюковского В. А., сказавшего, что “Эфиродинамика требует дальнейшего развития теории эфира”, опираясь на достигнутые результаты, предлагается дополнительный инструментарий исследования, основанный на градиенте эфирного давления, – “Градиентная Эфиродинамика**”.**

Эфиродинамическая основа эфирной среды – **Тороидальный Вихревой Процесс** от протона до галактик – как результат взаимодействия “Градиентов Эфирного Давления”

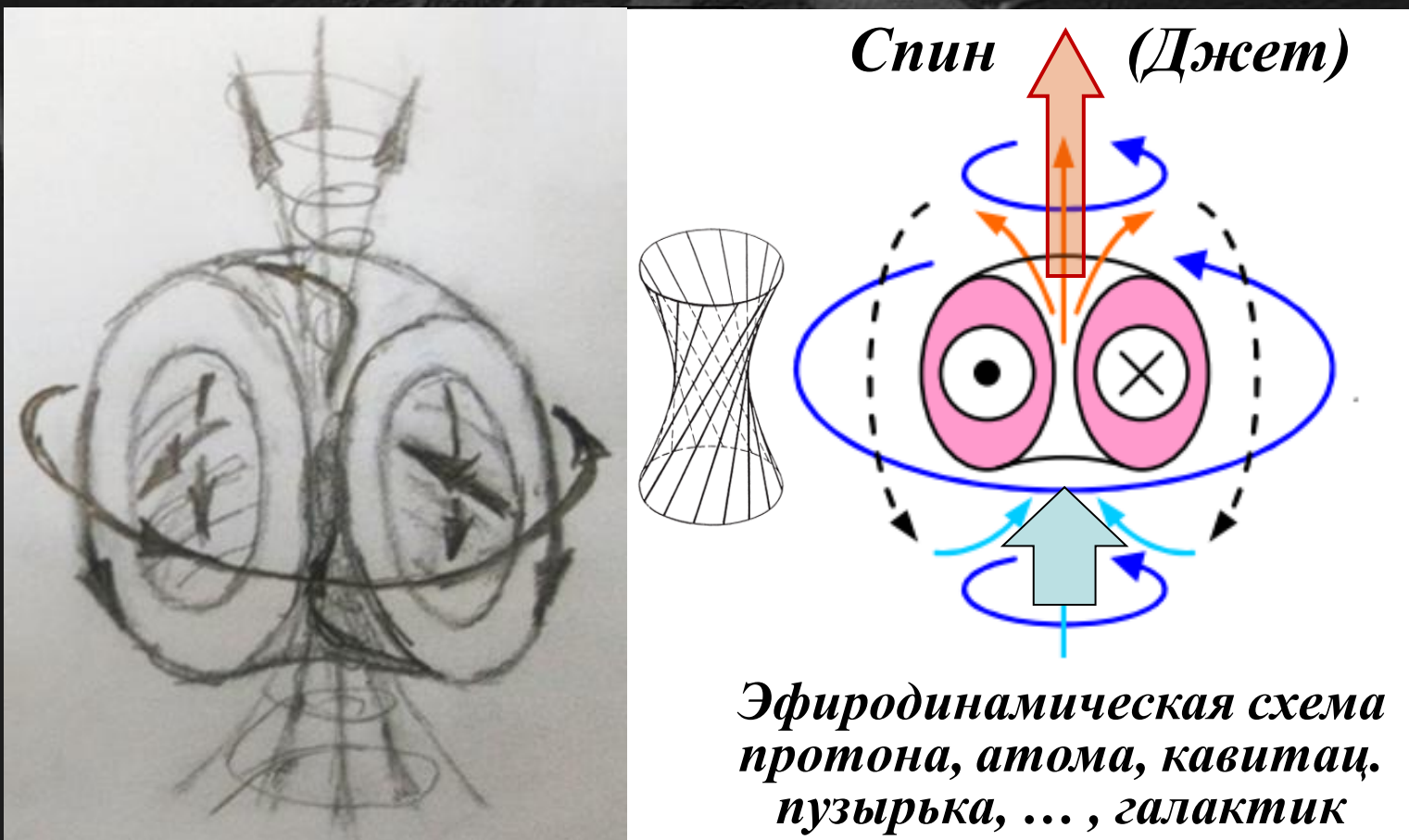
Модель Ацюковского В. А.



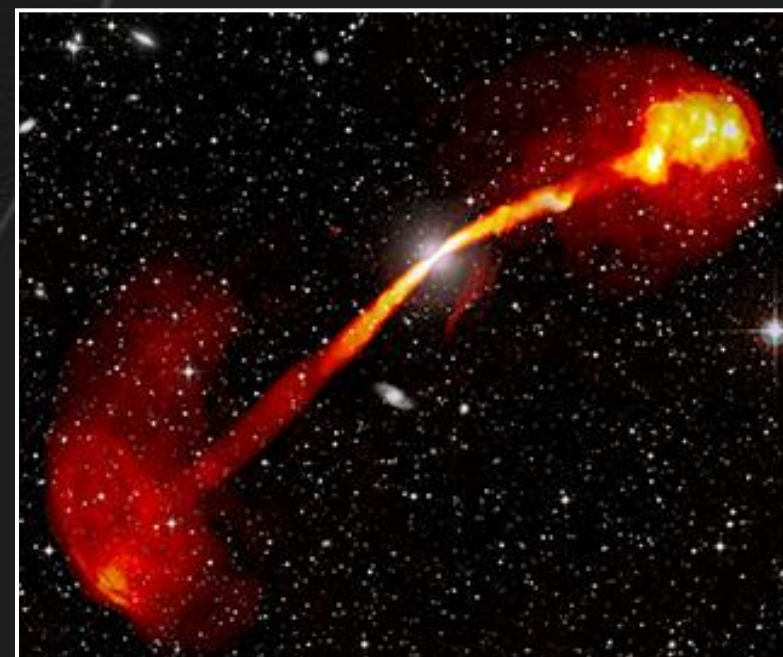
Эфиродинамическая модель тороидального эфирного вихря

Тороидальная эфирная модель Ацюковского расширена существенным вкладом прогоняемого через его центральную область эфирного потока, который представляет собой **спин (джет)** для всего диапазона масштабов: (у галактик и звезд эфирный сдвоенный тороид вращения зеркально отраженный).

Модель Эфирного Тороидального Вихря со Спином



Джеты галактики IC 4296

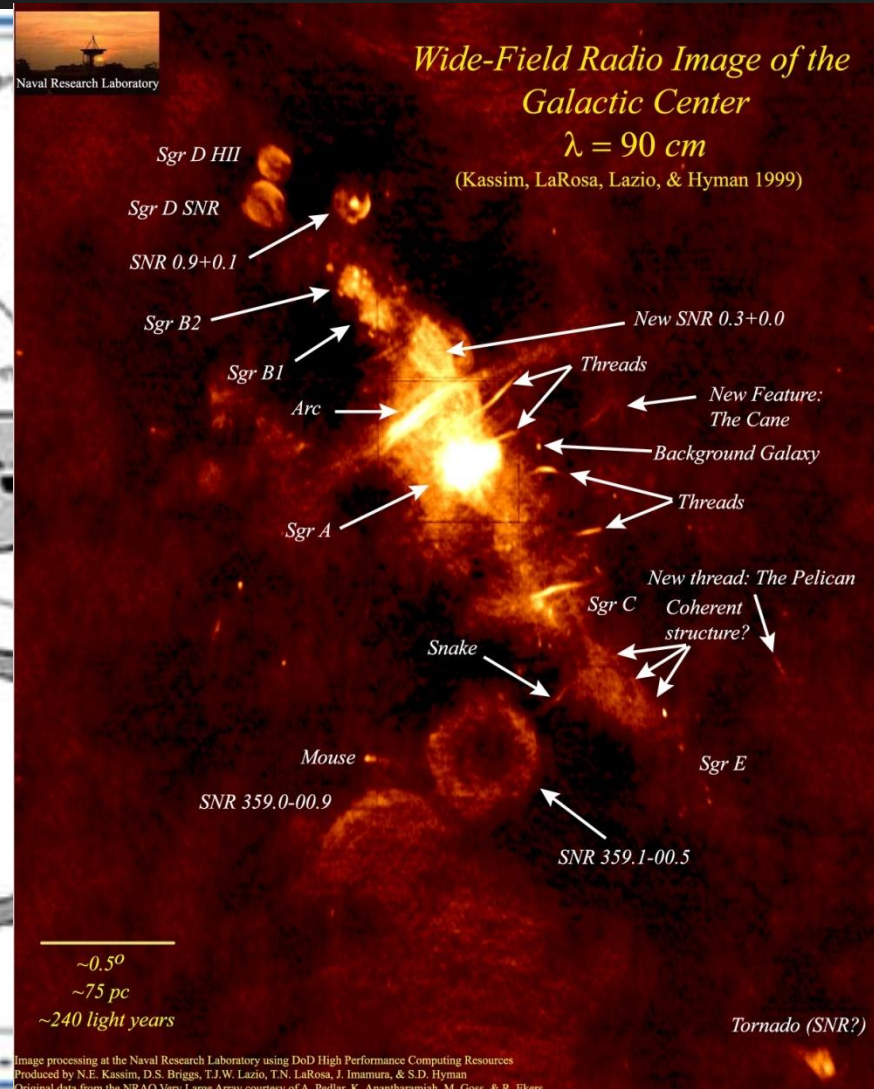
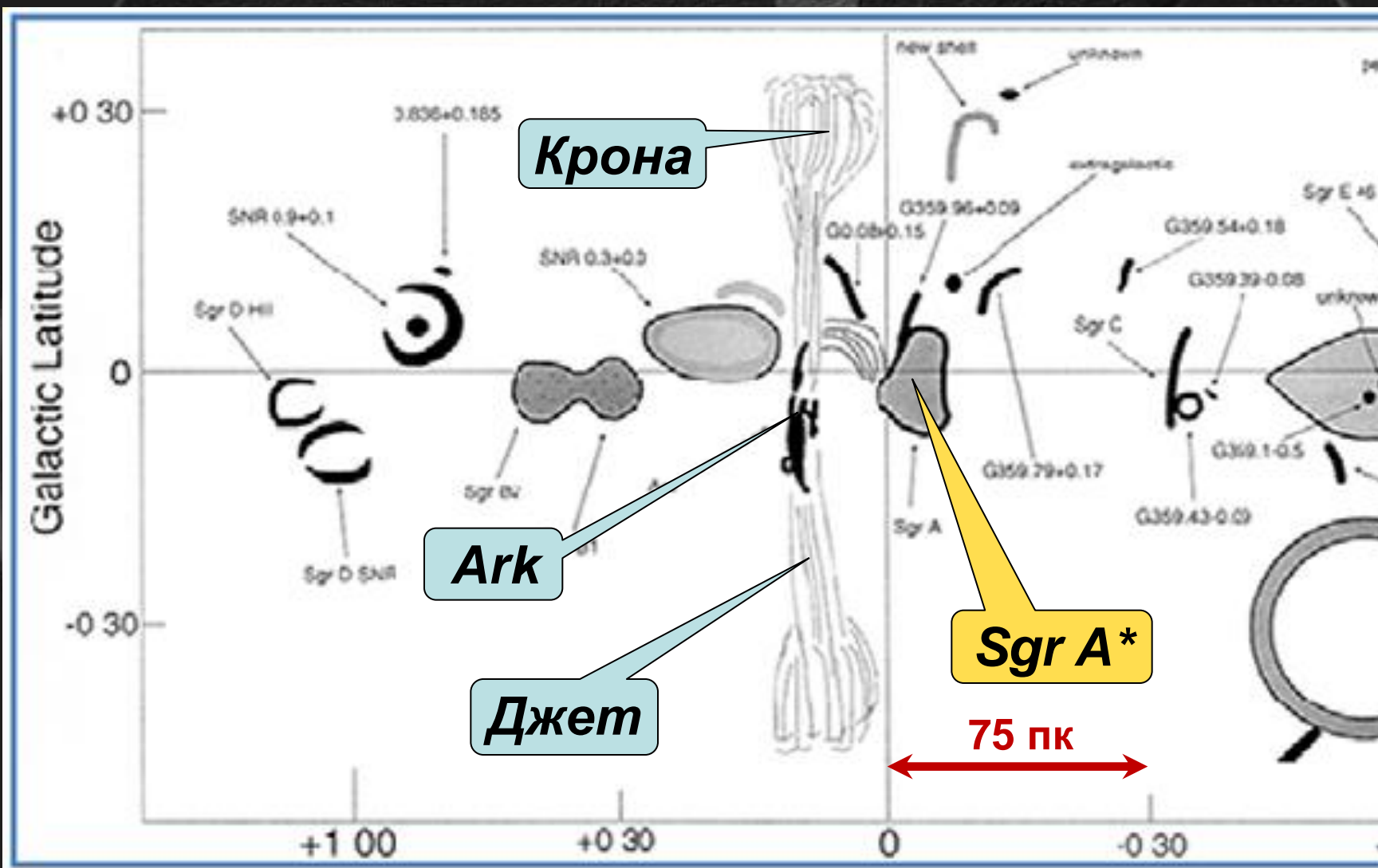


Астрономические явления и гравитация – реакция материи на вихревое и ускоренное движение эфира

(“Астрономические явления как реакция материи на вихревое движение эфира”)

Центр (Ядро) Галактики “Млечный Путь” (МП)

Радиоизображение ($f = 333\text{MHz} / \lambda = 0.90\text{m}$) ядра Галактики “МП” (1 дел. = $0.30'' = 75\text{пк.}$) :

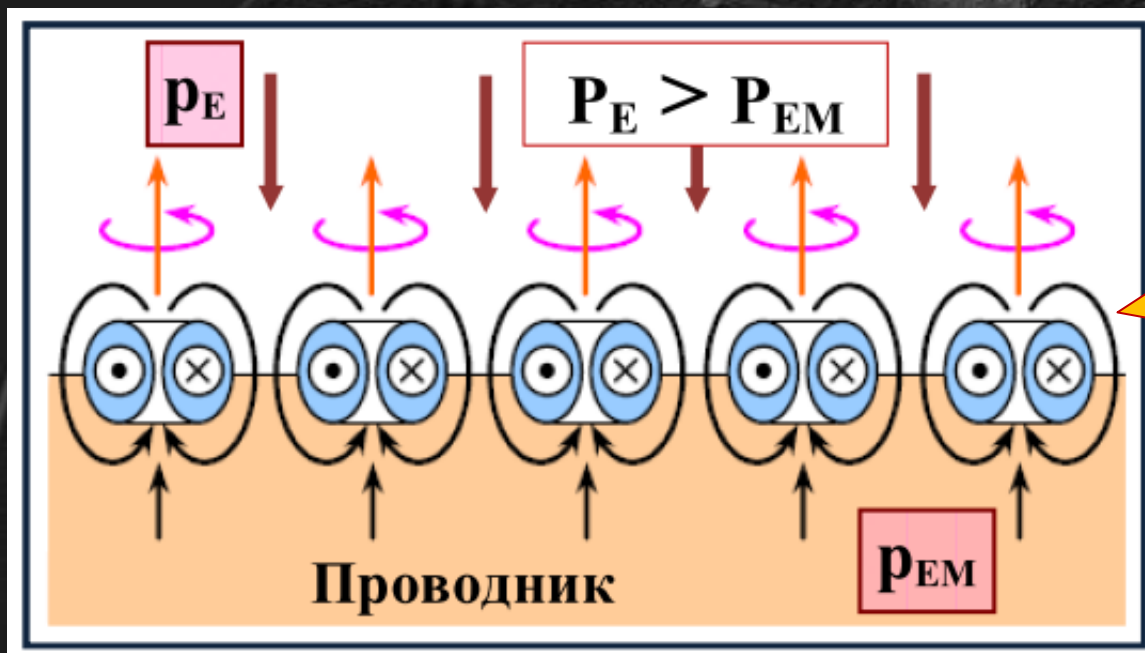


Центр галактического эфирного вихря (указан как **Ark**), где видны остатки **СТВОЛОВ ДЖЕТОВ** вместе с их “**кронами**”, сверхмассивный звездный объект **Sgr A*** (как бы центр гравитации галактики “МП”) смещен от как в плоскости диска, так и вниз по оси диска на величину порядка $\approx 25\text{пк.}$!

“Пузыри Ферми” являются следствием выброса джетами разогнанных протонов и материальных сгустков за пределы галактического диска с выделением энергии при столкновении последних с галактическим газом и пылью в виде рентгеновского и гамма излучений.

Эфиродинамическая основа цифровых измерительных приборов главного параметра эфирной среды – переменной составляющей эфирного давления – “Градиентов Эфирного Давления”

GED-05



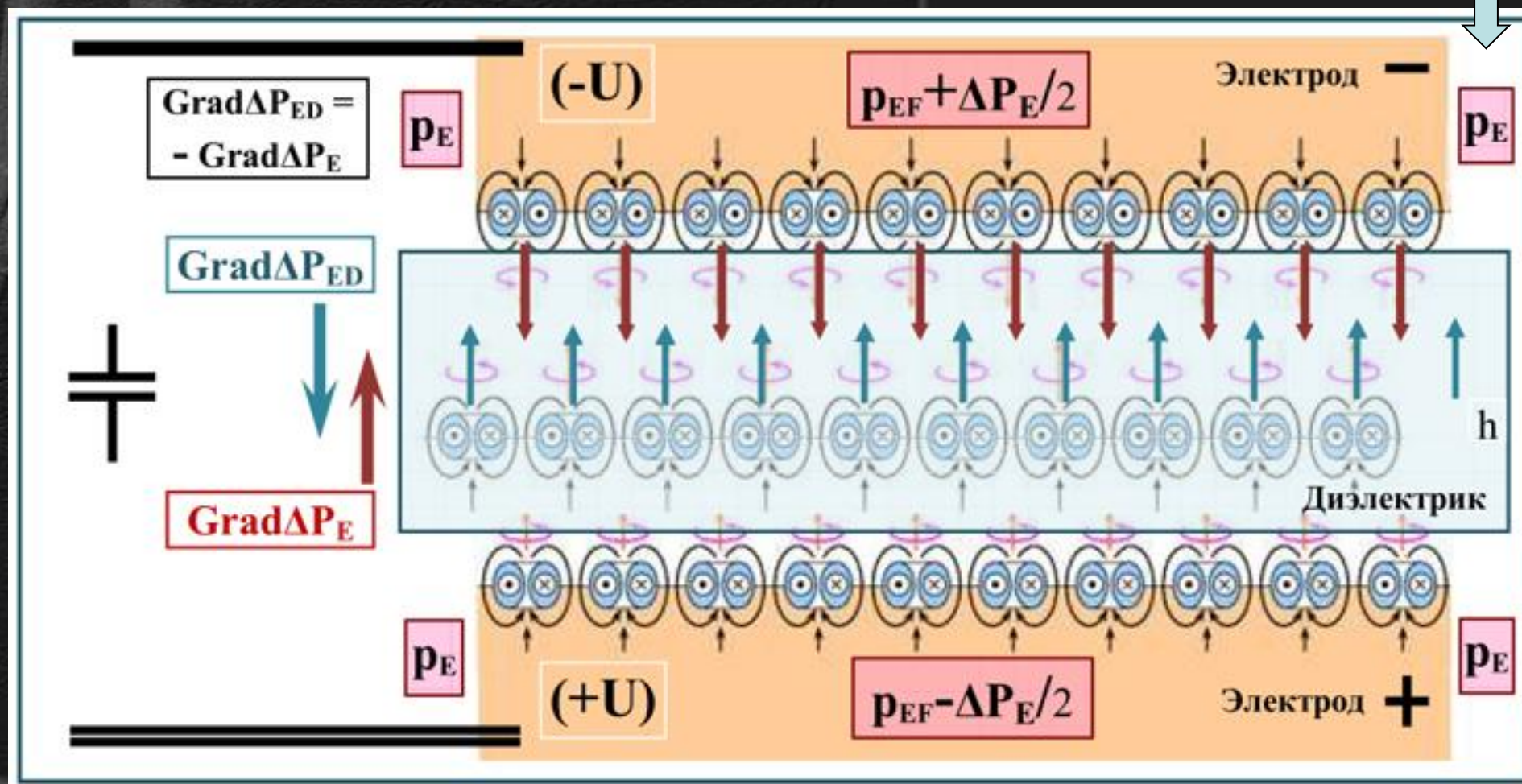
Эфиродинамика. Статика

http://www.course-as.com/download/zip/AEM_EI-p1.pdf

“Поверхность Ферми” проводника.
Давление эфира внутри проводника значительно
ниже давления эфира в окружающей среде

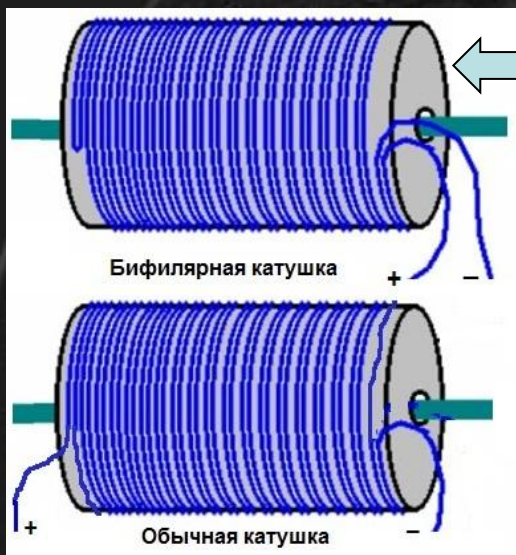
Конденсатор с диэлектриком (внизу) –
компонент эфиродинамической электроники.

Электрический ток
в проводнике есть
градиентный поток
эфира, текущего за
счет разности внут-
реннего эфирного
давления $+/-\Delta P_E/2$
в проводнике, соз-
данного на его кон-
цах внешним ис-
точником эфирного
давления.



Эфиродинамические основы “Бифилярной катушки” – второго компонента *детектора измерений колебаний давления эфирной среды* в “Измерителе Градиентов Эфирного Давления”

Бифиляр “Купера”



Цилиндр. катушка

Условное обозначение



Бифилярных катушек

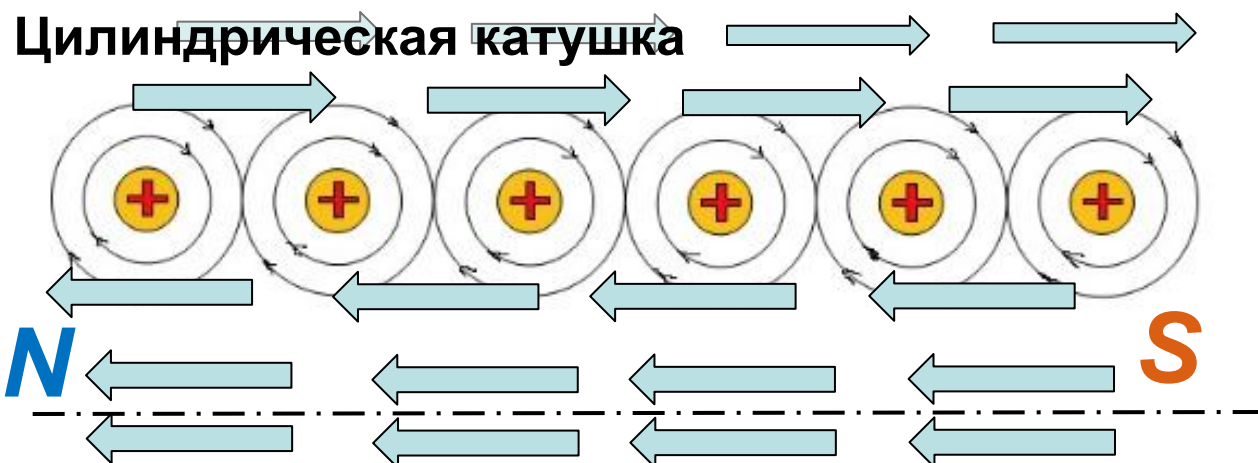
Эфиродинамическая модель бифиляра

Переменный эфирный поток в теле бифилярной катушки (“электрический ток”) не создает “электромагнитного излучения”, не возникают “магнитные полюса”, характерные для обычной катушки, **возникают разнонаправленные потоки эфира между соседними проводниками**, синхронно и циклично изменяющиеся этому вихревому потоку. Этим порождаются разноразмерные вихревые тороидальные эфирные образования, обладающие уникальной сверхпроникающей способностью.

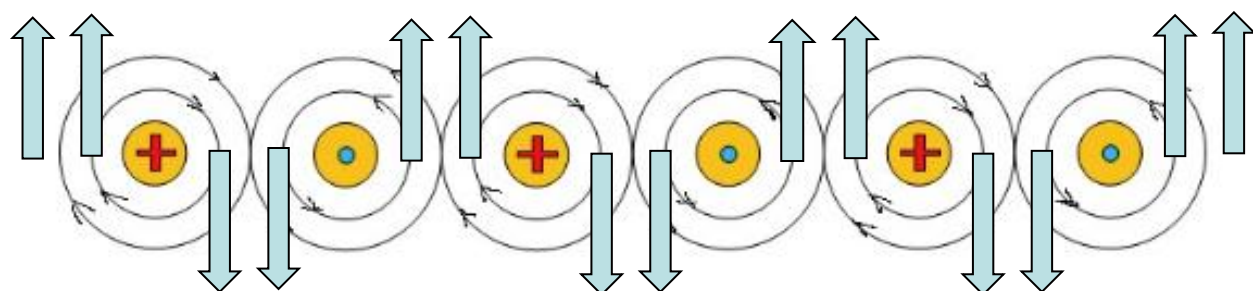
Спектральная характеристика не имеет ярко выраженной резонансной частоты, а растянута по спектру.

Индуктивность бифиляра $L=0$.

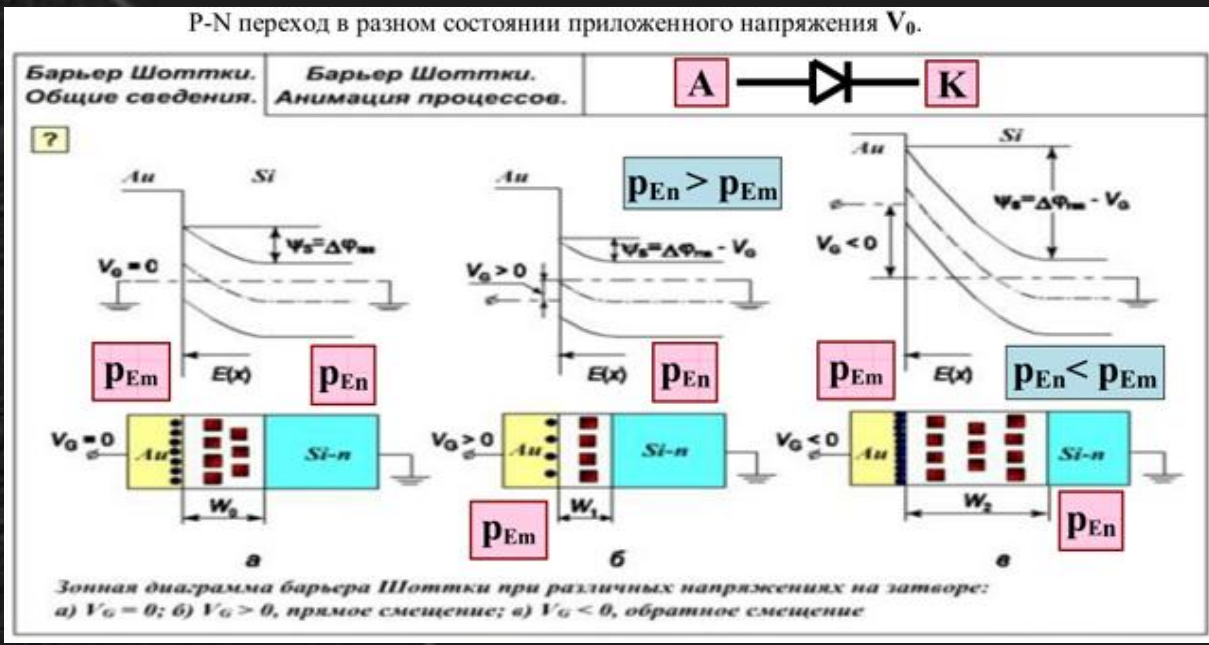
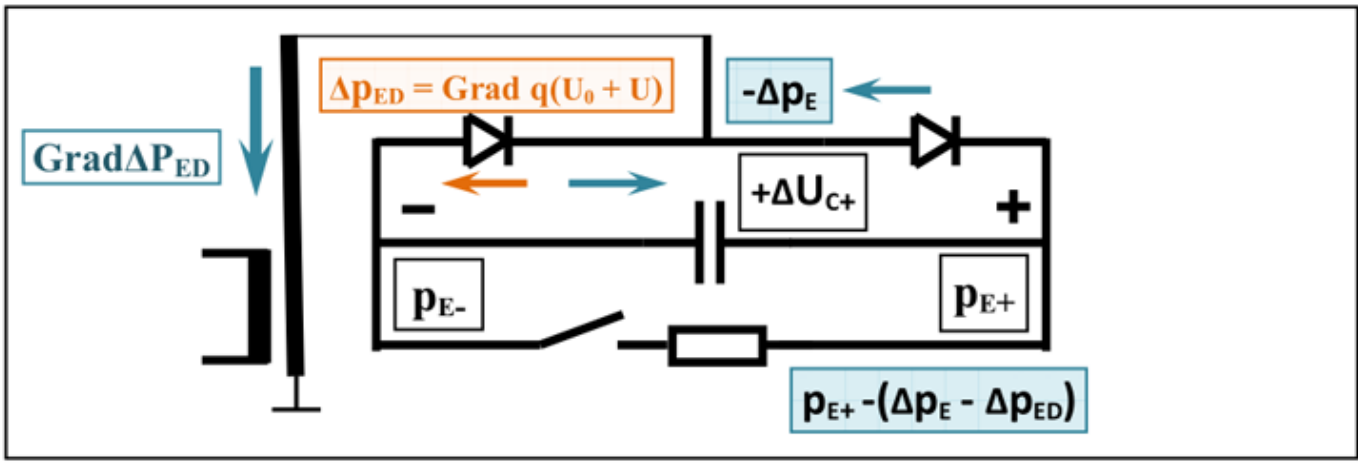
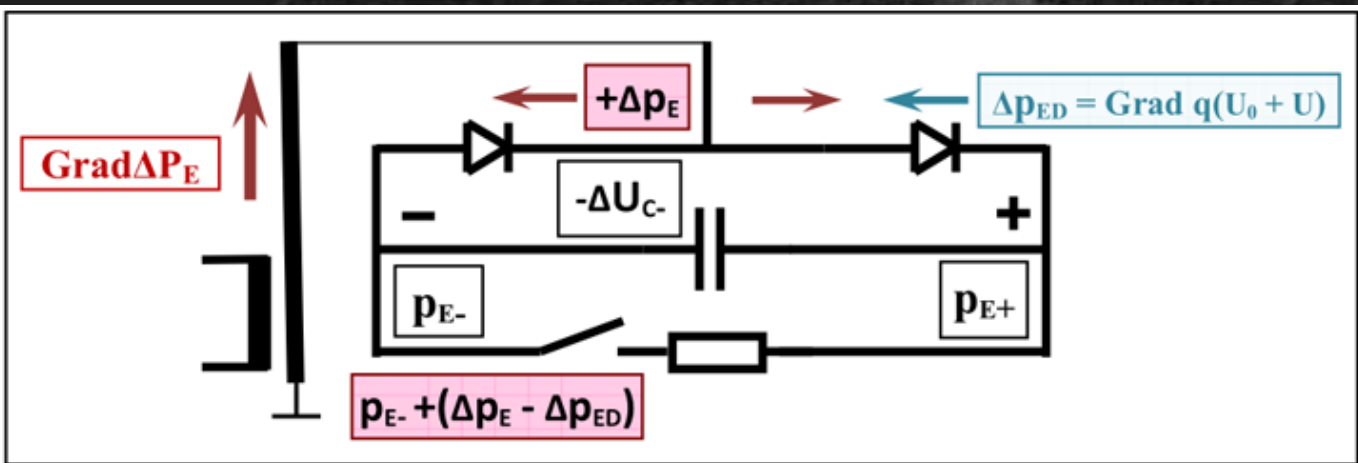
Бифилярная приемная катушка идеально регистрирует эфирное вихревое излучение передающей катушки.



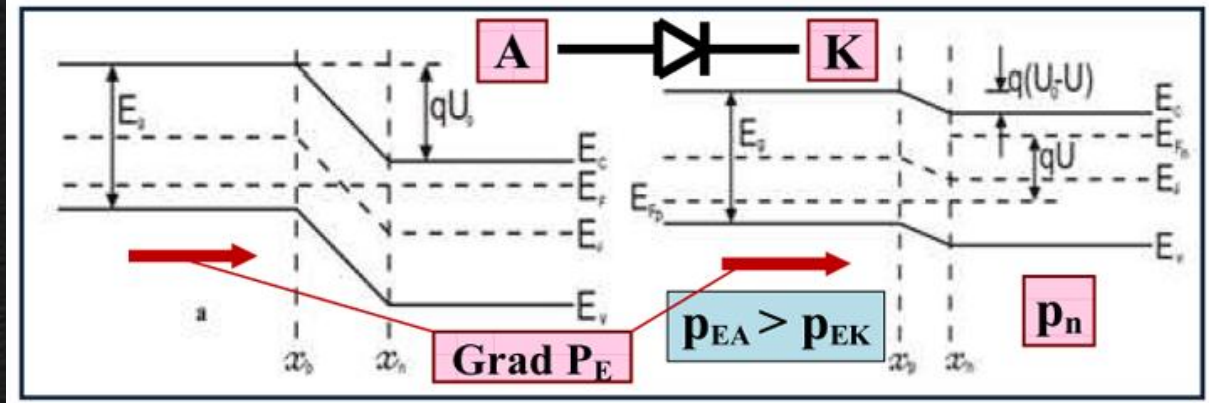
Бифилярная катушка Купера, Теслы, Мишина



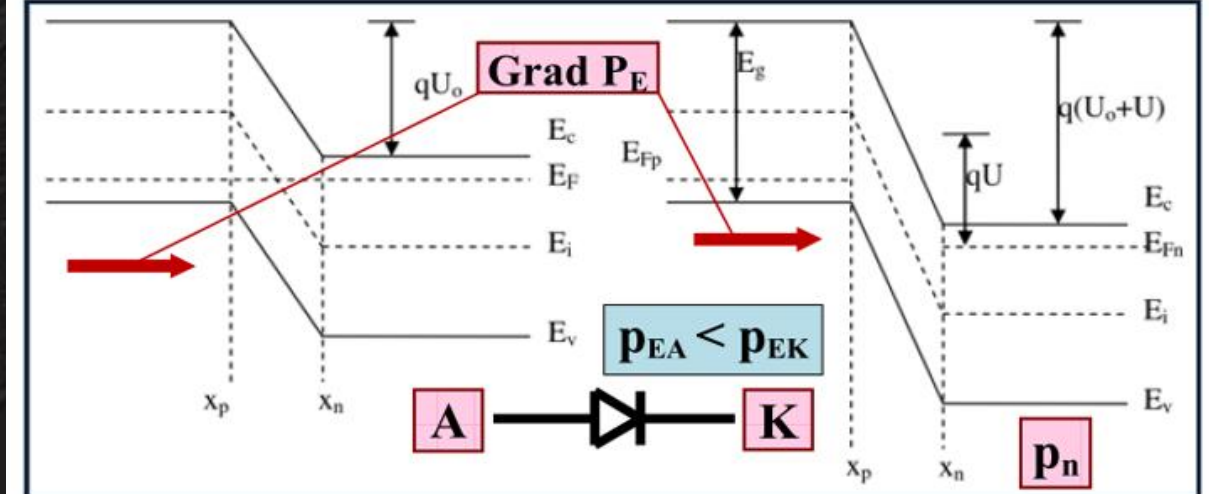
Эфиродинамические основы "Вилки Авраменко" – основного компонента детектора измерений колебаний давления эфирной среды в "Измерителе Градиентов Эфирного Давления"



<http://www.course-as.com/download/zip/AEM EI-p1.pdf>



p-n переход при прямом смещении U_0 .



p-n переход при обратном смещении U_0 .

ка $\Phi 10mm$
калотака платка бидиарная
Провод $\Phi 1mm$ в изоляции медь $0,5mm$



"Вилка Авраменко"
← и Измеритель
Градиентов Эфирного
Давления – "ИГЭД-0".
Распределение →
внутренних давлений
эфира в диоде при
прямом и обратном
включениях.

Эфиродинамическая основа "Измерителе Градиентов Эфирного Давления" - детектор, построенный на двух эфирных компонентах: "Вилке Авраменко" и "Бифилярной катушке".

GED-08

Эфиродинамический детектор

Бифилярная катушка, в связке с "Вилкой Авраменко", представляют **эфиро-динамический детектор** переменных эфирных потоков окружающей среды.

Детектор "ИГЭД-1и" с **переключением диапазонов** интегрирования измерения (конденсатор от 1.0 nF до 1000 nF).

Детектор от "ИГЭД-1+" имеет весьма **увеличенную чувствительность** путем удвоения количества диодов в "вилке".

Измеритель Градиентов Эфирного Давления: детектор "ЭД-1и" и "ИГЭД-1+" ("МГЕР-1+")



Цилиндрический бифиляр 20 вит. на $\Phi = 8-10\text{mm}$
Cu $\Phi = 0.5\text{mm}$
Изоляц. $\Phi = 1.0\text{mm}$



Импульсные Диоды ВАУ76

На Цифровой Измеритель (чувствит. 1 mV, сопр. 10Mом)

$C = 10\text{nF}$

детектор "ЭД-1+

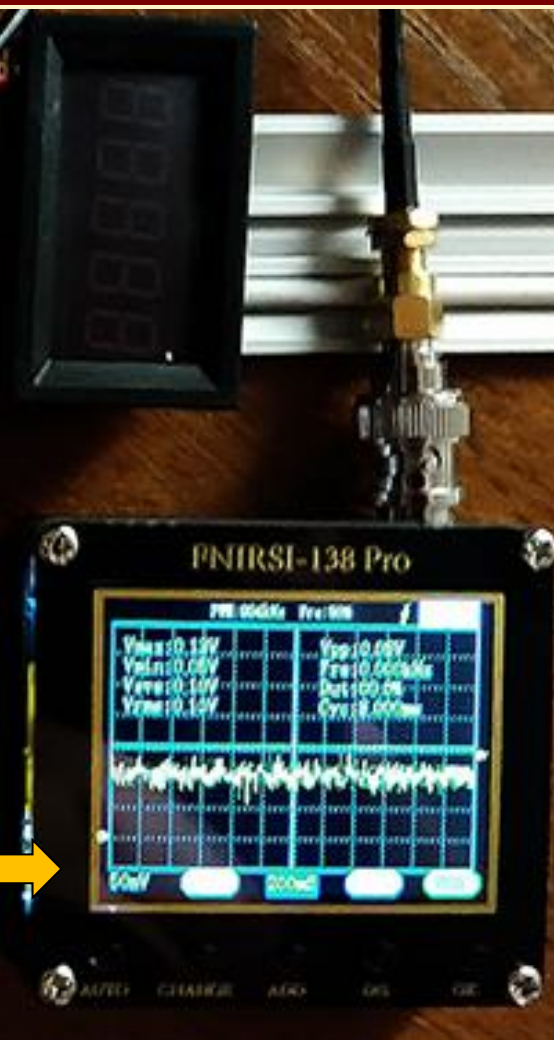
Эфиродинамический детектор, с гальванической развязкой -
 "Измеритель Градиентов Эфирного Давления - ИГЭД- 2гр".
 Визуализация на осциллографе и на цифровом индикаторе.

Эфиродинамический детектор с гальванической развязкой "ИГЭД- 2гр" (MGEP-2gi)

Детектор "ЭД-2гр" в измерителе "ИГЭД- 2гр" (MGEP-2gi) имеет входной каскад с входным сопротивлением $50\text{M}\Omega$ на выходе "Вилки Авраменко", с возможностью переключения делителя сигнала в режим 1:5 (не работает закон Ома – сигнал уменьшается *немногом более 2-х раз*);
 Операционный усилитель с установленным коэффициентом усиления равным **1.0**, входной сигнал колебаний эфирной среды существенно меньше **2 mV**, как на детекторе "ЭД-2", вырос до значений **90-100 mV**.



Детектор "ЭД-2гр", за счет *гальванической развязки* второго каскада с $K_{ус}=1$, позволил вывести сигнал эфирной среды на цифровой осциллограф с входным сопротивлением $1\text{M}\Omega$ (тоже с гальванической развязкой).



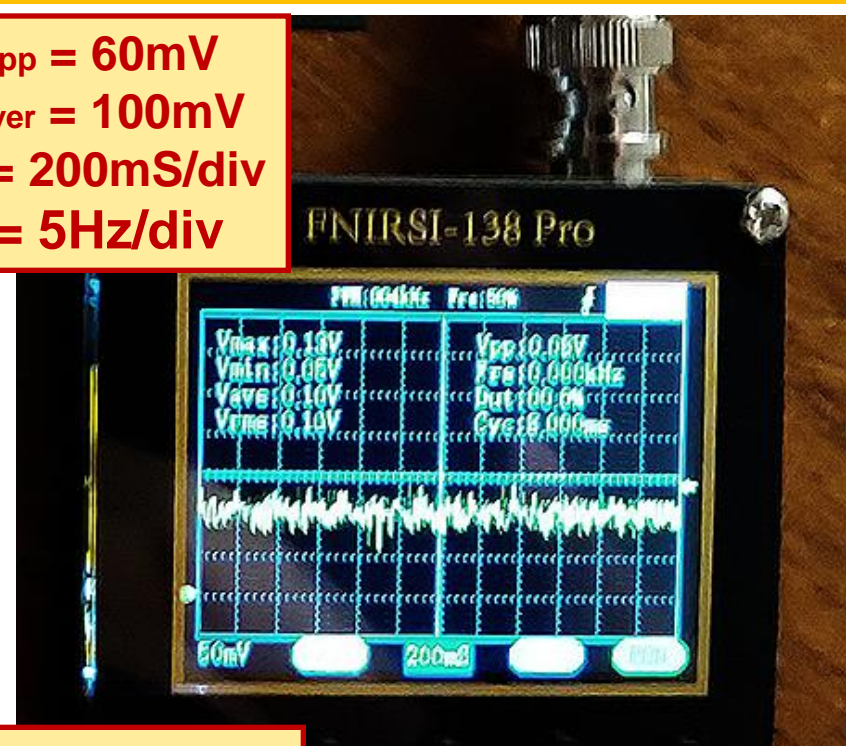
**Эфиродинамический детектор, с гальванической развязкой -
"Измеритель Градиентов Эфирного Давления - ИГЭД- 2гр".
Визуализация на осциллографе и на цифровом индикаторе.**

Эфиродинамический детектор с гальванической развязкой "ИГЭД- 2гр"



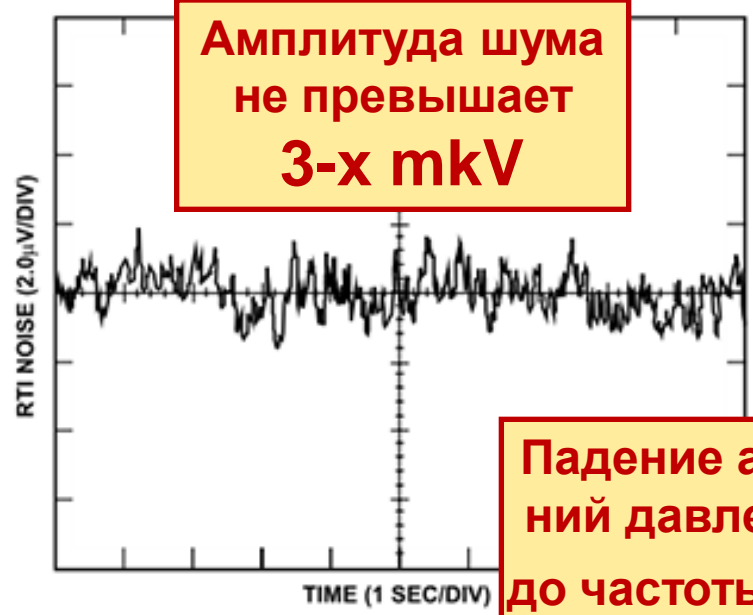
Падение амплитуды шума от 5Hz до частоты 1kHz равно 3 !

$V_{pp} = 60mV$
 $V_{aver} = 100mV$
 $1/f = 200mS/div$
 $f = 5Hz/div$



V_{pp} = амплитуда колебаний эфирного давления
 V_{aver} = средне интегральная составляющая колебаний эфирного давления
 $1/f$ = величина длительности, приходящееся на 1-у клетку
 f = частота, приходящая -ся на 1-у клетку

Figure 11. Current Noise Spectral Density vs. Frequency



Амплитуда шума не превышает 3-х μkV

$V_{pp} = 50mV$
 $V_{aver} = 100mV$
 $1/f = 200nS/div$
 $f = 5kHz/div$



Падение амплитуды колебаний давления эфира от 5Hz до частоты 5kHz равно 1.2!!

Для визуализации переменной составляющей эфирного давления применен осциллограф с автономным аккумуляторным питанием, обеспечивающий полную гальваническую развязку от внешнего воздействия - эффект однопроводной линии.

Figure 12. 0.1 Hz to 10 Hz RTI Voltage Noise (G = 1)

Эфиродинамический детектор, с гальванической развязкой -
"Измеритель Градиентов Эфирного Давления - ИГЭД- 2гр".
(Визуализация на мультиметре с чувствительностью 1mV).

Эфиродинамический детектор с гальванической развязкой "ИГЭД- 2гр"

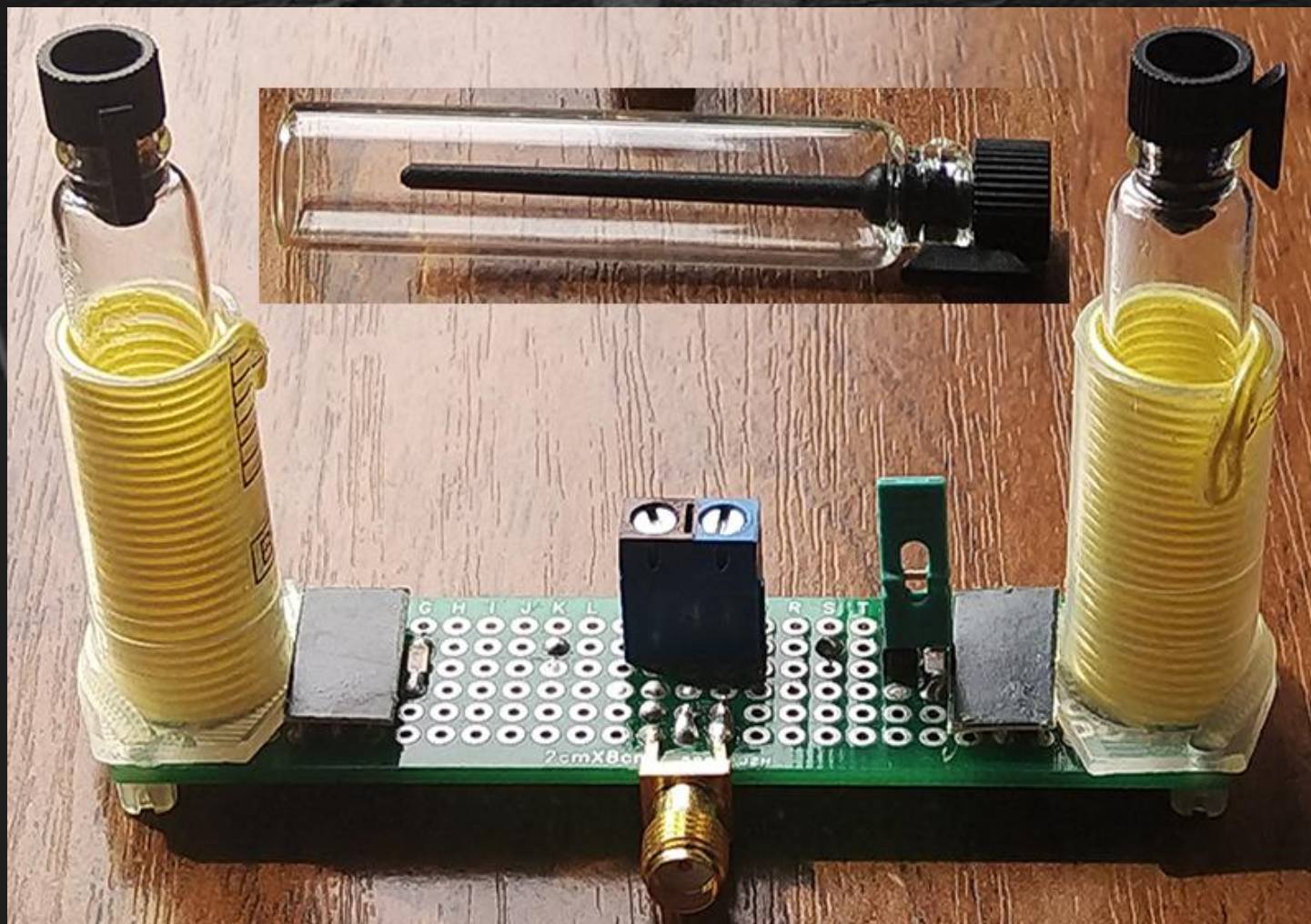
Детектор "ЭД-2гр" в модификации с автономным аккумуляторным питанием на измерителе "ИГЭД-2гр" (MGEP-2gi) и выходом на локальный измеритель, и/или на мультиметр высокого разрешения с автономным питанием (авторским) :
/ 4_2/3 десятичных разряда – 55000 ступеней измерений (16 бит = 65536) /



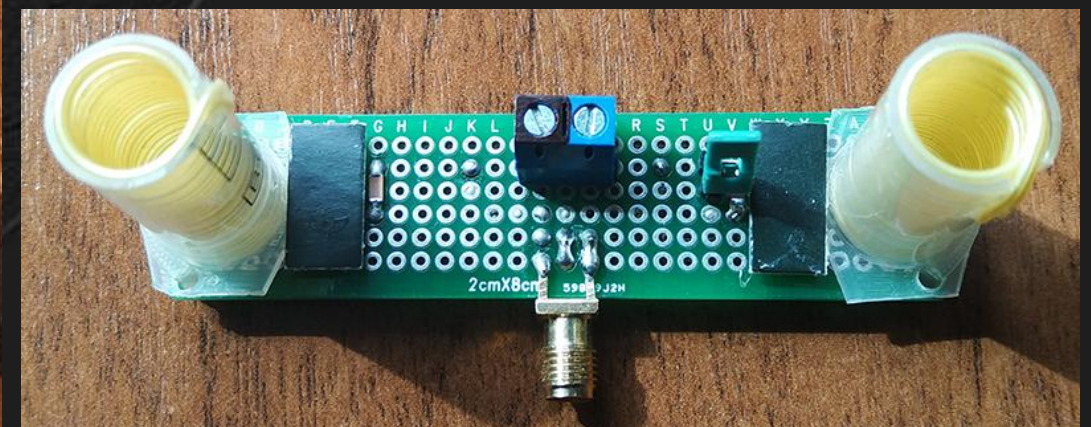
”Дифференциальный Измеритель Градиентов Эфирного Давления - ИГЭД- 2d”

Дифференциальный эфиродинамический детектор реального времени “ЭД-2d” к Измерителям Градиентов переменного Эфирного давления реального времени “ИГЭД- 2d” (MGEP-2d) для биологических исследований, в котором осуществляется (частичное) вычитание измерений между двумя объектами, находящимися в стеклянных цилиндрических пробирках, заключенных в бифилярные катушки:

- между исследуемым раствором и контрольным, или
- между исследуемым раствором по сравнению с окружающей средой, для более выраженного (по значению) измерений воздействий на био-объекты.



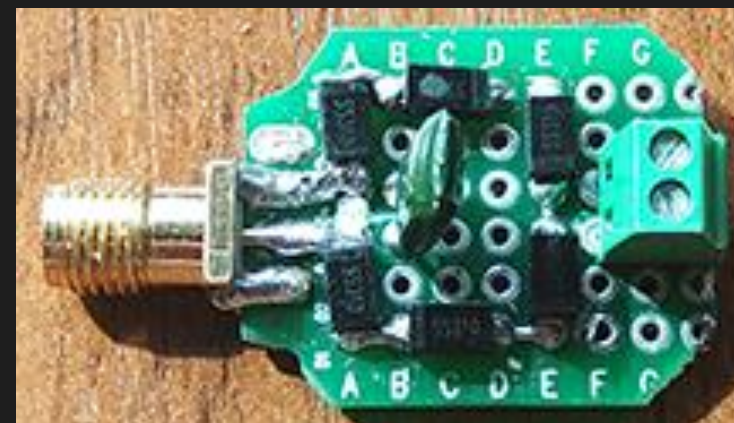
Дифференциальный датчик ИГЭД-2d (MGEP-2d) представляет собой два датчика ИГЭД-2 (MGEP-2) – бифилярная катушка (пробирка внутри бифилярной катушки) + “вилка Авраменко” с удвоенными диодами в каждом плече для каждой из частей.



”Измеритель Градиентов Эфирного Давления на диодах Шотки – ИГЭД-2ch”

1. Слева - Датчик к Измерителям Градиентов переменного Эфирного давления реального времени **ИГЭД-2(ch) (MGERD-2ch)**, построенный на диодах Шотки с минимальным проходным напряжением меньше $0.3V$, для минимизации габаритных размеров чувствительной части датчика.
2. Справа - Датчик к Измерителям Градиентов переменного Эфирного давления реального времени **ИГЭД-2(ch-R) (MPED-2chR)** на диодах Шотки с минимальным проходным напряжением меньше $0.3V$, обеспечивает возможность работы измерителя без применения бифилярной катушки.

В каждом плече “Вилки Авраменко” имеется по 3 диода Шотки, включенных последовательно, и образующих круг из диодов, что позволит выявить поляризацию за счет разворота датчика вокруг оси, проходящей по оси коаксиального разъема, и значительно увеличивает чувствительность измерителя.



Возможности Эфиродинамических измерений с применением "Измерителей Градиентов Эфирного Давления" серии "ИГЭД" .

GED-14

Что позволяет измерять "ИГЭД-2" ... :

1. **Интегральные колебания давления окружающей эфирной среды** визуализируются с точностью **до 0.01% в реальном времени** – постоянная времени равна 0.5 сек.;
2. **Колебания давления окружающей эфирной среды**, регистрируемое в течении дня, **более чем в 2 раза больше** минимального колебания давления эфирной среды;
3. **Увеличение давления эфирной среды над поверхностью сосуда с водой** или водным раствором **до 25-30% от колебания давления окружающей эфирной среды** – реакция на прохождение равновесной реакции Жаботинского-Белоусова с диссоциацией водных растворов на радикалы, кавитационные пузыри, кластеризацию и обратно;
4. **Эфиродинамическая составляющая** импульсного электромагнитного излучения, в том числе полностью экранированного, диапазон – **более 7-ми десятичных порядков !** ;
5. Эфиродинамическое импульсное светодиодное излучение, в том числе **экранированное алюминиевой фольгой и/или светонепроницаемым экраном**;
Позволяют видеть наплыв тучи на Солнце и ее уход (разброс значений более 2-х раз);
6. Измерение пространственного распределения **"странных излучений"** при **"холодной трансмутации ядер"** ("холодном ядерном синтезе");
7. Измерение пространственного распределения **"патологических (странных) излучений"** при плазменном разряде в газообразной, жидкой или твердой материальной среде;
8. Визуализация колебаний градиентов переменного эфирного давления стало возможно благодаря **гальванической развязке измерительной части**, с **50 Мом** входного сопротивления и **входным усилителем с $K_{ус} = 1$** . Визуализация на осциллографе с автономным питанием переменных составляющих Градиентов Эфирного Давления, **достигающих приблизительно 30% от средней постоянной величины, вплоть до частоты 1Mhz.**

Градиентная Эфиродинамика (Gradient EtheroDynamics)

“Измерители Градиентов Эфирного Давления”

(“Измерители колебаний Физ.вакуумной Среды ”)

позволяют в цифровом виде фиксировать

всепроникающие излучения, возникающие

при различных физических процессах в

материальной среде, включая биологические

процессы в живой материи и растворах.

Градиентная Эфиродинамика / GED /
http://www.course-as.ru/AEM_GE/AEM_GED.html

Градиентная Эфиродинамика (Gradient EtheroDynamics)
<https://dzen.ru/id/5f2bb1d3d4bc814db7d741a2>

Градиентная Эфиродинамика Мира
<https://rutube.ru/channel/23916173/>

*Институт Теоретической и
Прикладной Эфиродинамики*
<https://studfile.net/itipe/>

Авшаров Евгений Михайлович
ejen@mail.ru

Спасибо

Май 2023г.